

Easy Space Square

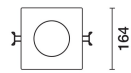
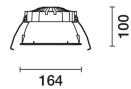
Design iGuzzini

iGuzzini

Letzte Aktualisierung der Informationen: April 2025

Produktkonfiguration: RI42.83

RI42.83: Quadratische 163 - General Lighting - DALI - Neutral White - Low Output - 16.8W 2143.2lm - 4000K - CRI 90 - Schwarz Durchsichtig



153x153

Produktcode

RI42.83: Quadratische 163 - General Lighting - DALI - Neutral White - Low Output - 16.8W 2143.2lm - 4000K - CRI 90 - Schwarz Durchsichtig

Beschreibung

Quadratische Einbauleuchte mit starrer Optik, Version mit Konturenrahmen. Hochleistungs-LED mit hohem Farbwiedergabeindex - Version mit Standard-Lichtstrom für ein hervorragendes Lichtausbeute-Verhältnis in Allgemeinbeleuchtungs-Umgebungen. Lichtausgabeaggregat bestehend aus durchsichtigem PMMA-Reflektor mit Prismenstruktur, kombiniert mit Lichtstromverstärker, beide aus PMMA und in die Außenstruktur aus Polycarbonat integriert. Der Wärmeableiter-Korpus aus lackiertem Aluminiumdruckguss beherbergt die Befestigungsfedern aus Stahldraht. Dimmbare DALI-Versorgungseinheit, die an die Leuchte angeschlossen ist.

Installation

Zum Einbau in abgehängte Decken von 1 bis 25 mm mittels Stahlfedern

Farben

Schwarz Durchsichtig (83)

Gewicht (Kg)

0.71

Montage

Deckenanbauleuchte

Verkabelung

Komponenten für den Betrieb enthalten - dimmbares DALI enthalten - Anschluss an die Versorgungseinheit mittels Schnellklemmleisten des Vorschaltgeräts.

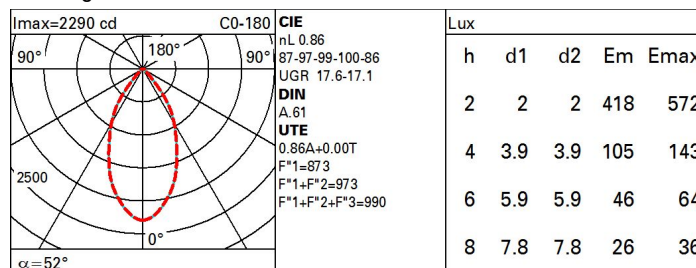
Gemäß der Normen EN60598-1 u. Sondernormen



Technische Daten

| | | | |
|---|-------|-----------------------------------|---------------------------------|
| lm System: | 1961 | Farbtemperatur [K]: | 4000 |
| W System: | 16.8 | MacAdam Step: | 2 |
| lm Lichtquelle: | 2280 | Lebensdauer LED 1: | > 50,000h - L90 - B10 (Ta 25°C) |
| W Lichtquelle: | 15 | Lampencode: | LED |
| Lichtausbeute (lm/W, Systemwert): | 116.7 | Anzahl Lampen in Leuchtengehäuse: | 1 |
| lm im Notlichtbetrieb: | - | ZVEI-Code: | LED |
| abgegebener Lichtstrom bei/ über einem Winkel von 90° [lm]: | 0 | Anzahl Leuchtengehäuse: | 1 |
| Leuchtenbetriebswirkungsgrad 86 (L.O.R.) [%]: | | Control: | DALI-2 |
| CRI (minimum): | 90 | | |

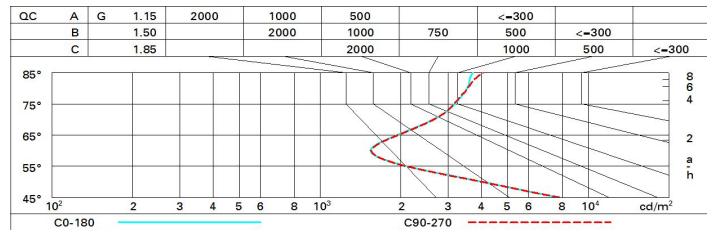
Polardiagramm



Wirkungsgrad

| R | 77 | 75 | 73 | 71 | 55 | 53 | 33 | 00 | DRR |
|------|----|----|----|----|----|----|----|----|-----|
| K0.8 | 73 | 67 | 64 | 61 | 66 | 63 | 63 | 59 | 69 |
| 1.0 | 77 | 72 | 69 | 66 | 71 | 68 | 68 | 64 | 74 |
| 1.5 | 82 | 78 | 76 | 73 | 77 | 75 | 74 | 71 | 82 |
| 2.0 | 85 | 83 | 80 | 78 | 81 | 79 | 78 | 75 | 88 |
| 2.5 | 87 | 85 | 83 | 82 | 84 | 82 | 81 | 78 | 91 |
| 3.0 | 88 | 87 | 85 | 84 | 85 | 84 | 83 | 80 | 93 |
| 4.0 | 90 | 88 | 87 | 86 | 87 | 86 | 85 | 82 | 95 |
| 5.0 | 90 | 89 | 88 | 88 | 88 | 87 | 86 | 83 | 97 |

Söller-Diagramm



UGR-Diagramm

| Corrected UGR values (at 2280 lm bare lamp luminous flux) | | | | | | | | | | |
|---|-----|------------------|------------|------|------|------|----------------|------|------|------|
| Reflect.: | | viewed crosswise | | | | | viewed endwise | | | |
| ceiling/cav | | 0.70 | 0.70 | 0.50 | 0.50 | 0.30 | 0.70 | 0.70 | 0.50 | 0.50 |
| walls | | 0.50 | 0.30 | 0.50 | 0.30 | 0.30 | 0.50 | 0.30 | 0.50 | 0.30 |
| work pl. | | 0.20 | 0.20 | 0.20 | 0.20 | 0.20 | 0.20 | 0.20 | 0.20 | 0.20 |
| Room dim | | | | | | | | | | |
| x y | | | | | | | | | | |
| 2H | 2H | 10.9 | 17.7 | 17.2 | 17.9 | 18.1 | 10.9 | 17.7 | 17.2 | 17.9 |
| | 3H | 10.9 | 17.6 | 17.3 | 17.9 | 18.2 | 10.8 | 17.5 | 17.1 | 17.8 |
| | 4H | 17.1 | 17.7 | 17.4 | 18.0 | 18.3 | 16.7 | 17.4 | 17.1 | 17.7 |
| | 6H | 17.3 | 17.9 | 17.6 | 18.2 | 18.5 | 16.7 | 17.3 | 17.0 | 17.6 |
| | 8H | 17.4 | 18.0 | 17.8 | 18.3 | 18.6 | 16.7 | 17.2 | 17.0 | 17.6 |
| | 12H | 17.5 | 18.0 | 17.8 | 18.3 | 18.7 | 16.6 | 17.2 | 17.0 | 17.5 |
| 4H | 2H | 10.7 | 17.4 | 17.1 | 17.7 | 18.0 | 17.1 | 17.7 | 17.4 | 18.0 |
| | 3H | 10.9 | 17.4 | 17.2 | 17.8 | 18.1 | 17.1 | 17.7 | 17.5 | 18.0 |
| | 4H | 17.1 | 17.6 | 17.5 | 18.0 | 18.3 | 17.1 | 17.6 | 17.5 | 18.0 |
| | 6H | 17.5 | 17.9 | 17.9 | 18.3 | 18.7 | 17.1 | 17.6 | 17.6 | 18.0 |
| | 8H | 17.6 | 18.0 | 18.1 | 18.4 | 18.9 | 17.1 | 17.5 | 17.6 | 17.9 |
| | 12H | 17.8 | 18.1 | 18.3 | 18.6 | 19.0 | 17.1 | 17.5 | 17.6 | 17.9 |
| 8H | 4H | 17.1 | 17.5 | 17.6 | 17.9 | 18.4 | 17.7 | 18.1 | 18.1 | 18.5 |
| | 6H | 17.6 | 17.9 | 18.1 | 18.4 | 18.9 | 17.8 | 18.2 | 18.3 | 18.6 |
| | 8H | 17.9 | 18.2 | 18.4 | 18.6 | 19.1 | 17.9 | 18.2 | 18.4 | 18.7 |
| | 12H | 18.2 | 18.4 | 18.7 | 18.9 | 19.4 | 18.0 | 18.2 | 18.5 | 18.7 |
| 12H | 4H | 17.1 | 17.5 | 17.6 | 17.9 | 18.4 | 17.8 | 18.2 | 18.3 | 18.6 |
| | 6H | 17.6 | 17.9 | 18.1 | 18.4 | 18.9 | 18.1 | 18.4 | 18.6 | 18.8 |
| | 8H | 18.0 | 18.2 | 18.5 | 18.7 | 19.2 | 18.2 | 18.5 | 18.7 | 18.9 |
| Variations with the observer position at spacing: | | | | | | | | | | |
| S = | | 1.0H | 2.5 / -2.4 | | | | 2.5 / -2.3 | | | |
| | | 1.5H | 3.8 / -2.7 | | | | 3.8 / -2.6 | | | |
| | | 2.0H | 5.5 / -2.8 | | | | 5.5 / -2.7 | | | |